2. Baraff G. A. Phys. Rev., 133, A26, (1964. 3. Восилюс И. И., Левинсон И. Б. ЖЭТФ, 50, 1660, (1966. 4. Ансельм А. И. Ведение в теорию полупроводников. М., Физматгиз, 1962.

Поступила в редакцию 20.10 1971 г.

Кафедра полупроводников

УЛК 538.69.539

#### Р. М. УМАРХОЛЖАЕВ, А. Л. КОТКИН

## О СТАБИЛИЗАЦИИ РЕЗОНАНСНЫХ УСЛОВИЙ ПО ФАЗОВОЙ ХАРАКТЕРИСТИКЕ СИГНАЛА ЯМР

В технике ЯМР приборостроения широкое распространение получили следящие спиновые стабилизаторы (СС), сигнал ошибки которых пропорционален сигналу дисперсии U [1, 2, 3] (обозначим такие устройства ССД). В настоящем сообщении рассматриваются СС, напряжение ошибки которых пропорционально либо фазовому углу ф, определяемому выражением

$$\varphi = \operatorname{arctg} \frac{U}{V} \tag{1}$$

(где V — блоховский сигнал поглощения), либо отношениям сигналов дисперсии и поглощения U/V. (Обозначим такие стабилизаторы ССФ и ССО соответственно.) Рассмотрим характеристики СС при условиях:

1. Устройства работают без применения модуляционной методики.

2. Поляризующее поле однородно.

3. Радиотракт частотнонезависим, т. е.  $W_2 = k$  (рис. 1).

При сделанных предположениях уравнения, описывающие ССФ, во внешней системе координат имеют вид

$$\dot{V} + \delta_2 V - U \left( \Delta \omega_0 - k \arctan \frac{U}{V} \right) = -\gamma H_1 M_2,$$
 (2)

$$\dot{U} + \delta_2 U + V \left( \Delta \omega_0 - k \arctan \frac{U}{V} \right) = 0, \tag{3}$$

$$\dot{M}_z + \delta_1 M_z - \gamma H_1 V = \delta_1 M_0. \tag{4}$$

В случае частотнозависимого радиотракта удобнее исследовать характеристики СС во внутренней системе координат методами теории автоматического регулиро-

Структурная схема СС представлена на рис. 1, где,  $\Delta\omega$  — расстройка в лабораторной (внешней) системе координат,  $\Omega$  — (ошибка стабилизатора) — расстройка во внутренней системе координат,  $W_1$  — передаточная функция спинового дискриминатора,  $W_2$  — передаточная функция радиотракта.

Передаточная функция  $W_1$  для случая ССФ имеет вид

$$W_{1}^{\Phi} = \frac{s^{2} (\delta^{2} + \Omega^{2}) + s 2 \delta(s^{2} + \Omega^{2}) +}{(\delta^{2} + \Omega^{2}) [s^{3} + 3s^{2} \delta + s (3\delta^{2} + \gamma^{2} H_{1}^{2} + \dots + \delta^{2} (\delta^{2} + \gamma^{2} H_{1}^{2} + \Omega^{2})]} ,$$

$$(5)$$

где s — оператор Лапласа;  $\delta = \delta_1 = \delta_2$ .

В случае  $\dot{W}_2 = k \gg 1$  характеристическое уравнение ССФ можно представить так:

$$s^{3} + k \left( s^{2} + 2\delta s + \delta^{2} - \frac{\delta^{2} + \gamma^{2} H_{1}^{2} + \Omega^{2}}{\delta^{2} + \Omega^{2}} \right) = 0.$$
 (6)

Из него следует, что ССФ устойчив при любых расстройках  $\Omega$  и величинах  $H_1$  (так как  $k\gg 1$ , то считаем, что всегда  $\gamma H_1{<}2k\delta$ ). Статический коэффициент стабилизации  $K_0$  для ССФ не зависит от величины  $H_1$  и равен

$$K_0 = \frac{k\delta}{\delta^2 + \Omega^2} + 1. \tag{7}$$

Быстродействие при работе с нулевой расстройкой определяется величиной

$$\tau = k + \delta. \tag{8}$$

Уравнения, описывающие ССО во внешней системе координат, могут быть получены из (2)—(4) заменой arctg  $\frac{U}{V}$  на  $\frac{U}{V}$  . Передаточная функция  $W_1$  в случае ССО имеет вил

$$W_1^0 = \frac{s^2 (\delta^2 + \Omega^2) + 2s\delta (\delta^2 + \Omega^2) + \delta^2 (\delta^2 + \gamma^2 H_1^2 + \Omega^2)}{\delta^2 \left[ s^3 + s^2 3\delta + s (3\delta^2 + \gamma^2 H_1^2 + \Omega^2) + \delta (\delta^2 + \gamma^2 H_1^2 + \Omega^2) \right]}.$$
 (9)

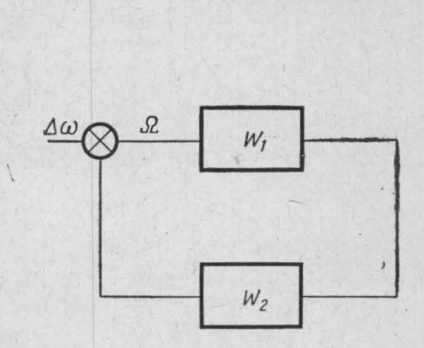


Рис. 1. Структурная схема

 $\frac{3}{\delta^2} \frac{2}{2\delta^2} \frac{3\delta^2}{\delta^2}$ 

Рис. 2. Зависимость  $K_0/K_0$  мах от расстройки стабилизатора  $\Omega$  для I— ССО при любых  $H_1$ , 2— ССФ при любых  $H_1$ , 3— ССД при  $\gamma^2 H_1^2 = \delta^2$  (при  $\Omega^2 = 2\delta^2$  граница устойчивости стабилизатора), 4— ССД при  $\gamma^2 H_1^2 = 4\delta^2$  (при  $\Omega^2 = 2\delta^2$  колебательная граница устойчивости стабилизатора), 5—ССД при  $\gamma^2 H_1^2 = 0$ , 1  $\delta^2$  (при  $\Omega^2 = 1$ , 1  $\delta^2$  апериодическая граница устойчивости стабилизатора).  $K_0$  мах — значение коэффициента стабилизации при  $\Omega = 0$ ,  $\gamma H_1 = \delta$ 

Статический коэффициент стабилизации ССО не зависит ни от величины  $H_1$ , ни от расстройки  $\Omega$ , быстродействие при нулевой расстройке совпадает с быстродействием ССФ, стабилизатор устойчив при любых расстройках.

Представляет интерес сравнение характеристик ССО, ССФ и ССD при одинаковых радиосхемах  $(W_2=k)$ . В случае широкополостного радиотракта ССД имеет апериодические и колебательные

границы устойчивости и несовпадающие между собой значения частот  $\Omega$  «входа» и «выхода» из режима о стабилизации [6]. ССФ и ССО устойчивы в отличие от ССД при любых расстройках, не имеют колебательной и апериодической границ устойчивости; устройства всегда находятся в режиме стабилизации. При больших расстройках коэффициент стабилизации ССФ остается постоянным. Коэффициент стабилизации ССФ и ССО в отличие от ССД не зависит от величины  $H_1$ . Зависимости  $K_0$  от  $\Omega$  для описанных видов стабилизаторов приведены на рис. 2. Полное сравнение различных видов СС и окончательный вывод о преимуществах какого-нибудь из них можно сделать только на основании изучения их шумовых характеристик.

#### ЛИТЕРАТУРА

1. Проспект спектрометра YNM-3H-60 фирмы «Jeol.», 1963.

- 2. Сюгис А., Липпмаа Э. «Изв. АН СССР», 16, № 1, 81, 1967. 3. Умарходжаев Р. М., Коткин А. Л. «Вестн. Моск. ун-та», физ., астрон., 12. № 2. 1971.
- 4. Основы автоматического регулирования, Под ред. В. В. Солодовникова. М., Машгиз. 1954.
- 5. Бесекерский В. А., Попов Е. П. Теория систем автоматического регулирования. М., «Наука». 1966. 6. Коткин А. Л., Умарходжаев Р. М. «Изв. вузов», № 12, 1971:

Поступила в редакцию 3.8 (1971 г.

**Ф**РИИН

УДК 539.1.01

### И. М. ТЕРНОВ. В. Р. ХАЛИЛОВ. Б. В. ХОЛОМАЙ

# СДВИГ ЧАСТОТЫ В ВЫСОКОИНТЕНСИВНОМ КОМБИНАЦИОННОМ РАССЕЯНИИ

В [1, 2, 3] был предсказан эффект сдвига частоты при рассеянии электромагнитной волны на свободном электроне, пропорциональный параметру  $V_0^2 = \left(\frac{eE}{mc\omega}\right)^2$  характеризующему интенсивность электромагнитной волны. Как в квантовом, так и в классическом рассмотрении происхождение частотного сдвига обязано моментам включения электромагнитной волны. Классическая интерпретация состоит в том, что в момент включения волны электрон приобретает среднюю скорость  $\sim V_0^2$  в направлении распространения электромагнитной волны, благодаря чему возникает допплеровский сдвиг при рассеянии волны на движущемся источнике [4]:

$$\omega' = l\omega \left[1 - \frac{V_0^2 (1 - \cos \theta)}{2\alpha^2}\right], \quad \alpha = \frac{\varepsilon - cp_3}{mc^2}, \quad l = 1, 23...$$

Однако интенсивность современных лазеров еще недостаточна для того, чтобы обнаружить этот эффект, частотный сдвиг будет значительно большим, если цуг электромагнитной волны рассеивается на электронах, движущихся в магнитном поле.

Для того чтобы учесть момент включения электромагнитной волны, выберем напряженности полей волны в виде

$$\vec{E} = E_0 l^{-\gamma \mid \omega \xi \mid} \{ \vec{e_1} \cos \omega \xi + g \vec{e_2} \sin \omega \xi \} , \qquad \vec{H} = [\vec{n} \vec{E}] , \quad \xi = t - \frac{z}{c} . \quad (1)$$

Пусть, кроме того, у нас имеется еще постоянное и однородное магнитное поле, параллельное вектору n.

Таким образом, при ξ→±∞ электрон связан лишь постоянным магнитным полем. Решение уравнений движения электрона в магнитном поле и поле электромагнитной волны (1) можно записать

$$x = \frac{c\beta}{\widetilde{\omega}_{0}} \cos \frac{\widetilde{\omega}_{0}}{\omega} \chi + \frac{V_{0}C\left(1 - g\frac{\widetilde{\omega}_{0}}{\omega}\right)}{\omega \alpha \Delta} l^{-\gamma |\omega\xi|} \frac{(\gamma \sin n\chi \sin \chi + \cos \chi)}{(1 + \gamma^{2})} + \frac{cV_{0}\gamma \operatorname{sign}\chi l^{-\gamma + \chi +}}{\omega \alpha \Delta} \frac{(-\gamma \operatorname{sign}\chi \cos \chi + \sin \chi)}{(1 + \gamma^{2})}, \qquad (2)$$

$$y = \frac{c\beta}{\widetilde{\omega}_{0}} \sin \frac{\widetilde{\omega}_{0}}{\omega} \chi + \frac{cgV_{0}\left(1 - g\frac{\widetilde{\omega}_{0}}{\omega}\right)}{\omega \alpha \Delta} l^{-\gamma + \chi +} \frac{(-\gamma \operatorname{sign}\chi \cos \chi + \sin \chi)}{(1 + \gamma^{2})} - \frac{(-\gamma \operatorname{sign}\chi \cos \chi + \sin \chi)}{(1 + \gamma^{2})} - \frac{(-\gamma \operatorname{sign}\chi \cos \chi + \sin \chi)}{(1 + \gamma^{2})} - \frac{(-\gamma \operatorname{sign}\chi \cos \chi + \sin \chi)}{(1 + \gamma^{2})} - \frac{(-\gamma \operatorname{sign}\chi \cos \chi + \sin \chi)}{(1 + \gamma^{2})} - \frac{(-\gamma \operatorname{sign}\chi \cos \chi + \sin \chi)}{(1 + \gamma^{2})} - \frac{(-\gamma \operatorname{sign}\chi \cos \chi + \sin \chi)}{(1 + \gamma^{2})} - \frac{(-\gamma \operatorname{sign}\chi \cos \chi + \sin \chi)}{(1 + \gamma^{2})} - \frac{(-\gamma \operatorname{sign}\chi \cos \chi + \sin \chi)}{(1 + \gamma^{2})} - \frac{(-\gamma \operatorname{sign}\chi \cos \chi + \sin \chi)}{(1 + \gamma^{2})} - \frac{(-\gamma \operatorname{sign}\chi \cos \chi + \sin \chi)}{(1 + \gamma^{2})} - \frac{(-\gamma \operatorname{sign}\chi \cos \chi + \sin \chi)}{(1 + \gamma^{2})} - \frac{(-\gamma \operatorname{sign}\chi \cos \chi + \sin \chi)}{(1 + \gamma^{2})} - \frac{(-\gamma \operatorname{sign}\chi \cos \chi + \sin \chi)}{(1 + \gamma^{2})} - \frac{(-\gamma \operatorname{sign}\chi \cos \chi + \sin \chi)}{(1 + \gamma^{2})} - \frac{(-\gamma \operatorname{sign}\chi \cos \chi + \sin \chi)}{(1 + \gamma^{2})} - \frac{(-\gamma \operatorname{sign}\chi \cos \chi + \sin \chi)}{(1 + \gamma^{2})} - \frac{(-\gamma \operatorname{sign}\chi \cos \chi + \sin \chi)}{(1 + \gamma^{2})} - \frac{(-\gamma \operatorname{sign}\chi \cos \chi + \sin \chi)}{(1 + \gamma^{2})} - \frac{(-\gamma \operatorname{sign}\chi \cos \chi + \sin \chi)}{(1 + \gamma^{2})} - \frac{(-\gamma \operatorname{sign}\chi \cos \chi + \sin \chi)}{(1 + \gamma^{2})} - \frac{(-\gamma \operatorname{sign}\chi \cos \chi + \sin \chi)}{(1 + \gamma^{2})} - \frac{(-\gamma \operatorname{sign}\chi \cos \chi + \sin \chi)}{(1 + \gamma^{2})} - \frac{(-\gamma \operatorname{sign}\chi \cos \chi + \sin \chi)}{(1 + \gamma^{2})} - \frac{(-\gamma \operatorname{sign}\chi \cos \chi + \sin \chi)}{(1 + \gamma^{2})} - \frac{(-\gamma \operatorname{sign}\chi \cos \chi + \sin \chi)}{(1 + \gamma^{2})} - \frac{(-\gamma \operatorname{sign}\chi \cos \chi + \sin \chi)}{(1 + \gamma^{2})} - \frac{(-\gamma \operatorname{sign}\chi \cos \chi + \sin \chi)}{(1 + \gamma^{2})} - \frac{(-\gamma \operatorname{sign}\chi \cos \chi + \sin \chi)}{(1 + \gamma^{2})} - \frac{(-\gamma \operatorname{sign}\chi \cos \chi + \sin \chi)}{(1 + \gamma^{2})} - \frac{(-\gamma \operatorname{sign}\chi \cos \chi + \sin \chi)}{(1 + \gamma^{2})} - \frac{(-\gamma \operatorname{sign}\chi \cos \chi + \sin \chi)}{(1 + \gamma^{2})} - \frac{(-\gamma \operatorname{sign}\chi \cos \chi + \sin \chi)}{(1 + \gamma^{2})} - \frac{(-\gamma \operatorname{sign}\chi \cos \chi + \sin \chi)}{(1 + \gamma^{2})} - \frac{(-\gamma \operatorname{sign}\chi \cos \chi + \sin \chi)}{(1 + \gamma^{2})} - \frac{(-\gamma \operatorname{sign}\chi \cos \chi + \sin \chi)}{(1 + \gamma^{2})} - \frac{(-\gamma \operatorname{sign}\chi \cos \chi + \sin \chi)}{(1 + \gamma^{2})} - \frac{(-\gamma \operatorname{sign}\chi \cos \chi + \sin \chi)}{(1 + \gamma^{2})} - \frac{(-\gamma \operatorname{sign}\chi \cos \chi + \sin \chi)}{(1 + \gamma^{2})} - \frac{(-\gamma \operatorname{sign}\chi \cos \chi + \sin \chi)}{(1 + \gamma^{2})} - \frac{(-\gamma \operatorname{sign}\chi \cos \chi + \sin \chi)}{(1 + \gamma^{2})} - \frac{(-\gamma \operatorname{$$